

“Să citești, nu pentru a contrazice și a combate și nici pentru a crede și a lua drept bun ..., ci pentru a cîntări și a judeca.”

Fr. Bacon

TRIGGER SCHMITT

TRIGGER SCHMITT

1. SCOPUL LUCRARII

In această lucrare se studiază funcționarea unui circuit basculant nesimetric cu, cuplaj în emitor (trigger Schmitt) și se prezintă două circuite integrate cu funcție de trigger schmitt unul în tehnologie TTL celălalt în tehnologie CMOS.

2. CONSIDERATII TEORETICE

2.1. Funcționare

Circuitul trigger Schmitt este folosit în tehnica impulsurilor ca detector de nivel sau formator de impulsuri dreptunghiulare din semnal de intrare lent variabil.

Schema electrică a unui astfel de circuit este prezentată în figura 1.

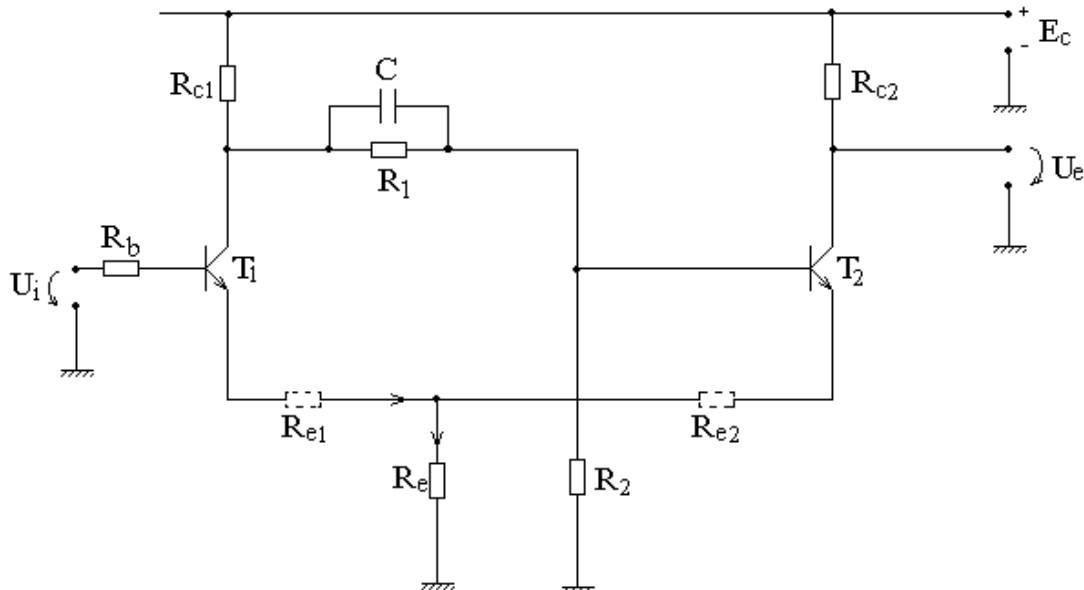


Figura 1.

În continuare se consideră :

$$R_{e1}=R_{e2}=0 \text{ iar } U_\gamma \text{ tensiunea de deschidere B-E a tranzistorului}$$

Se aplică $U_i=0$. Tranzistorul T_1 este blocat și T_2 conductor. Aceasta este starea 1 a circuitului. Se aleg rezistențele R_{c1} , R_1 , R_2 și R_{c2} astfel ca T_2 să fie activ la limita de saturatie. În emitorul lui T_2 se stabilește potențialul:

$$U_i = \varepsilon_b \cdot E_C - U_{BE} \text{ , unde } \varepsilon_b = \frac{R_2}{R_2 + R_1 + R_{C1}} .$$

Se crește U_I și se observă că starea 1 se menține atât timp cat $U_i < \varepsilon_1$, unde:

$$\varepsilon_1 = U_1 + U_\gamma \cong \varepsilon_b \cdot E_C - 0,1 \text{ V}$$

și se numește prag de declanșare.

Când U_I depăsește ε_1 , tranzistorul T_1 intră în conducție; potențialul din colectorul său scade, scade potențialul din baza lui T_2 , acesta tinde să iasă din conducție, ceea ce duce la scăderea potențialului de emitor și pe această cale T_1 conduce și mai puternic. Procesul continuă în avalansă și se termină cu starea 2 caracterizată de T_1 conductor și T_2 blocat. La ieșire se obține $U_e \cong E_C$.

Crescând încă din nou U_I , T_1 poate ajunge eventual la saturare, dar T_2 continuă să fie blocat.

Dacă se scade U_I , potențialul în colectorul lui T_1 crește, potențialul în emitor scade, dar starea 2 se menține. În momentul în care creșterea de potențial din colectorul lui T_1 și scăderea potențialului pe emitorul comun ajunge să determine deschiderea lui T_2 , se amorsează procesul de basculare care determină revenirea în starea: deschiderea lui T_2 determină creșterea potențialului pe emitor, T_1 se închide, potențialul din colectorul său crește, etc. Tensiunea de intrare corespunzătoare acestui moment se notează ε_2 și se numește prag de revenire. Se calculează:

$$\varepsilon_2 = U_{BE} + R_e \frac{\varepsilon_b \cdot E_C - U_\gamma}{R_e + \varepsilon_b \cdot R_{C1}}$$

unde: U_γ - tensiunea de deschidere B – E pentru T_2 , U_{BE} - tensiunea B-E pentru T_1 .

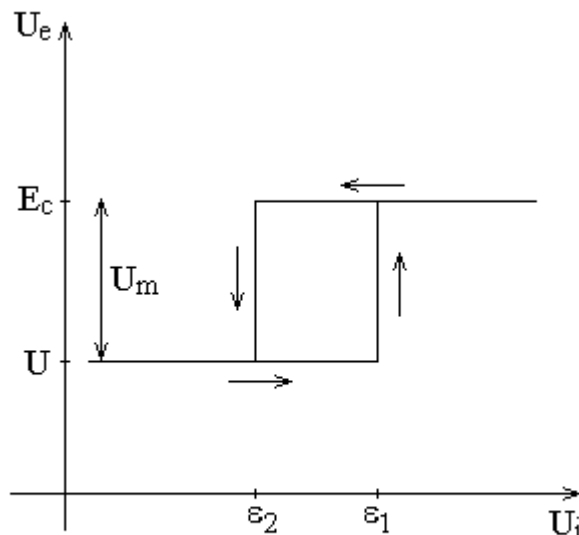


Figura 2.

Caracteristica de transfer prezinta histerezis, daca $\varepsilon_2 < \varepsilon_1$. Rezistentele de emitor R_{e1} si R_{e2} permit modificarea pragurilor astfel:

- R_{e1} intervine atunci când conduce T_1 , deci la pragul ε_2 :

$$\varepsilon_2 = \varepsilon_2 + \frac{R_{e1}}{R_e} (\varepsilon_2 - U_{BE})$$

- R_{e2} intervine atunci când conduce T_2 , deci la ε_1 si anume:

$$\varepsilon_1 = \varepsilon_1 \frac{R_e}{R_e + R_{e2}} + \frac{R_{e2}}{R_2 + R_{e2}} \cdot U_\gamma$$

Observații:

- 1) Se poate ca în starea 1, T_2 să fie saturat. Se modifică relația de calcul pentru ε_1 .
- 2) Polarizarea pentru T_2 poate fi modificată - să lipsească R_2 sau R_1 . Funcționarea este similară.
- 3) Dacă în starea 1, T_2 este activ, dar cu U_{CE} mai mare, se micșorează amplitudinea impulsului de ieșire U_m .

2.2. Aplicații

2.2.1. Circuitul poate fi completat cu un divizor rezistiv în baza lui T_1 , astfel încât să se asigure pentru aceasta, o polarizare cuprinsă între cele 2 praguri. Se obține o funcționare de C.B.B. nesimetric care poate fi comandat cu impulsuri de o polaritate sau alta.

2.2.2. Circuitul poate fi folosit ca formator de impulsuri dreptunghiulare dacă la intrare se aplică semnal lent variabil periodic (ex. sinusoidal sau triunghiular). Raspunsul la ieșire are aceeași perioadă cu semnalul de intrare. Modificând componenta continuă și amplitudinea semnalului de intrare se poate modifica factorul de umplere a raspunsului.

3. CIRCUIT TRIGGER SCHMITT TTL

In figura 3 se prezintă schema electronică internă pentru circuitul CDB 413.

În structura circuitului se recunoaște intrarea T_1 specifică familiei TTL, triggerul Schmitt T_2 , T_3 , etajul de ieșire T_5 , T_6 , T_7 specific TTL și tranzistorul repetor T_4 cu rol de adaptare de nivel.

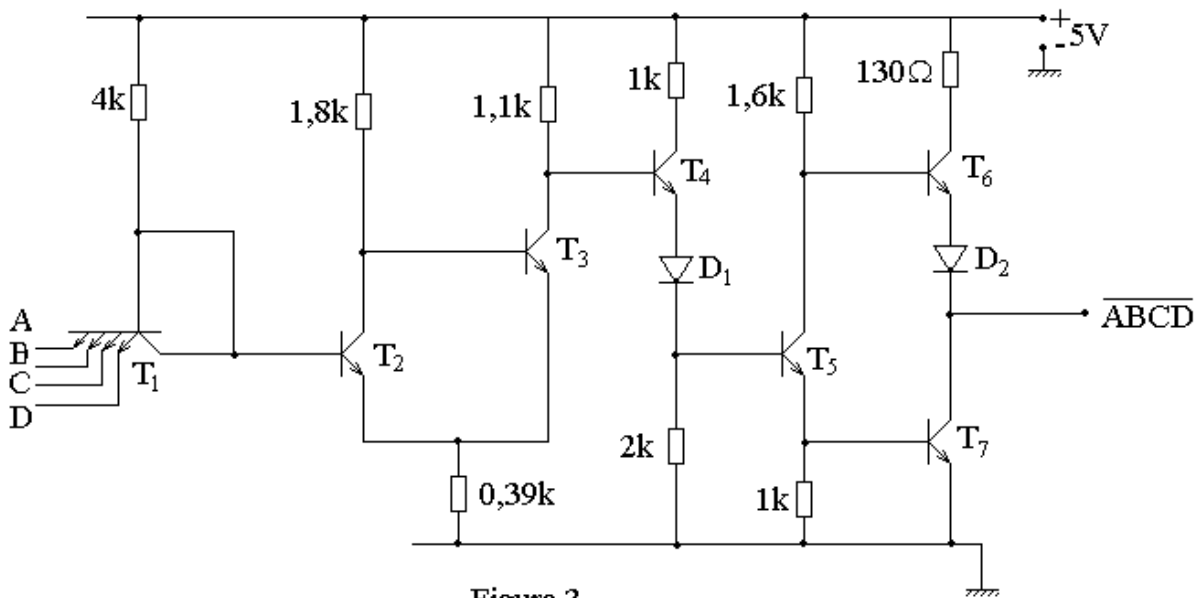


Figura 3.

In starea 1, T_2 este blocat și T_3 saturat, iar în starea 2, T_2 este saturat și T_3 blocat. Pentru tranzistorul saturat se poate adopta un model ca în figura 4.

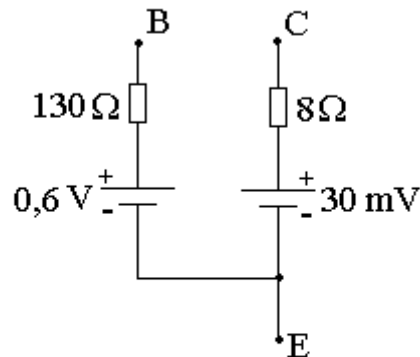


Figura 4.

Cu acest model se calculează valorile pragurilor la: $\varepsilon_1 = 1,7\text{V}$ și $\varepsilon_2 = 0,9\text{V}$.

4. CIRCUIT TRIGGER SCHMITT CMOS

În familia CMOS există două circuite cu rol de trigger-e Schmitt: 4093 (4 porți de tip SI-NU), 40106 (6 inversoare). Pe montajul de laborator avem un circuit de tip 4093 a cărui poartă SI-NU are două intrări ambele cu acțiune de trigger Schmitt.

Schema echivalentă a unei porți este prezentată în figura 5.

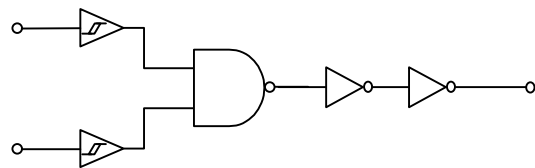


Figura 5

Poarta comută la nivele de tensiune diferite pentru semnalele crescătoare și respectiv cele descrescătoare. Diferența între tensiunea “pozitivă” (V_P) și tensiunea “negativă” (V_N) de prag este defiinită ca tensiune de histerezis.

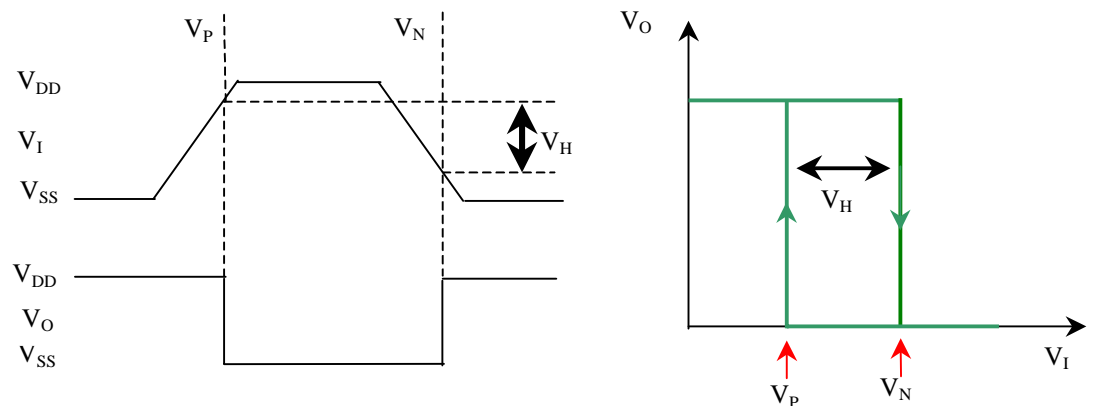


Figura 6. Definiția histerezisului și caracteristica portii.

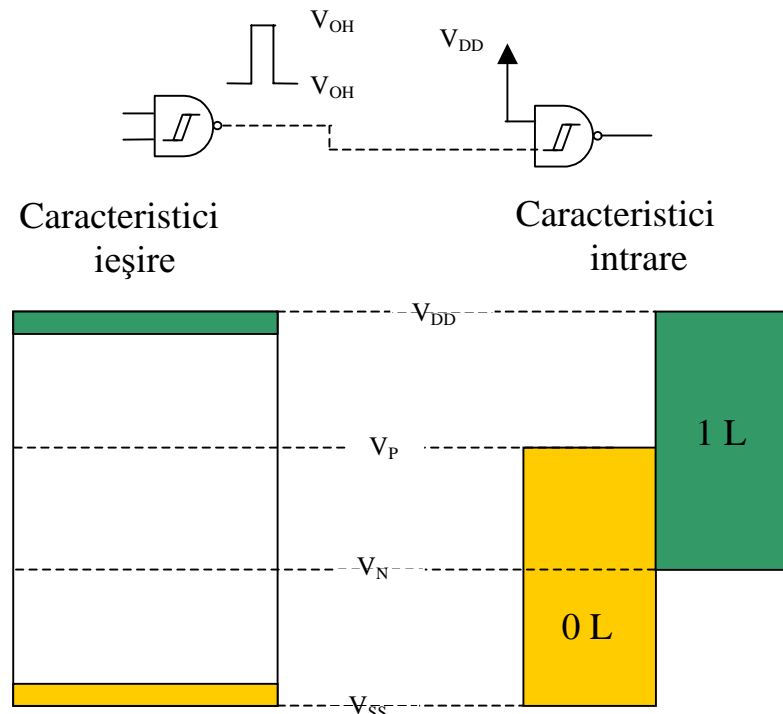
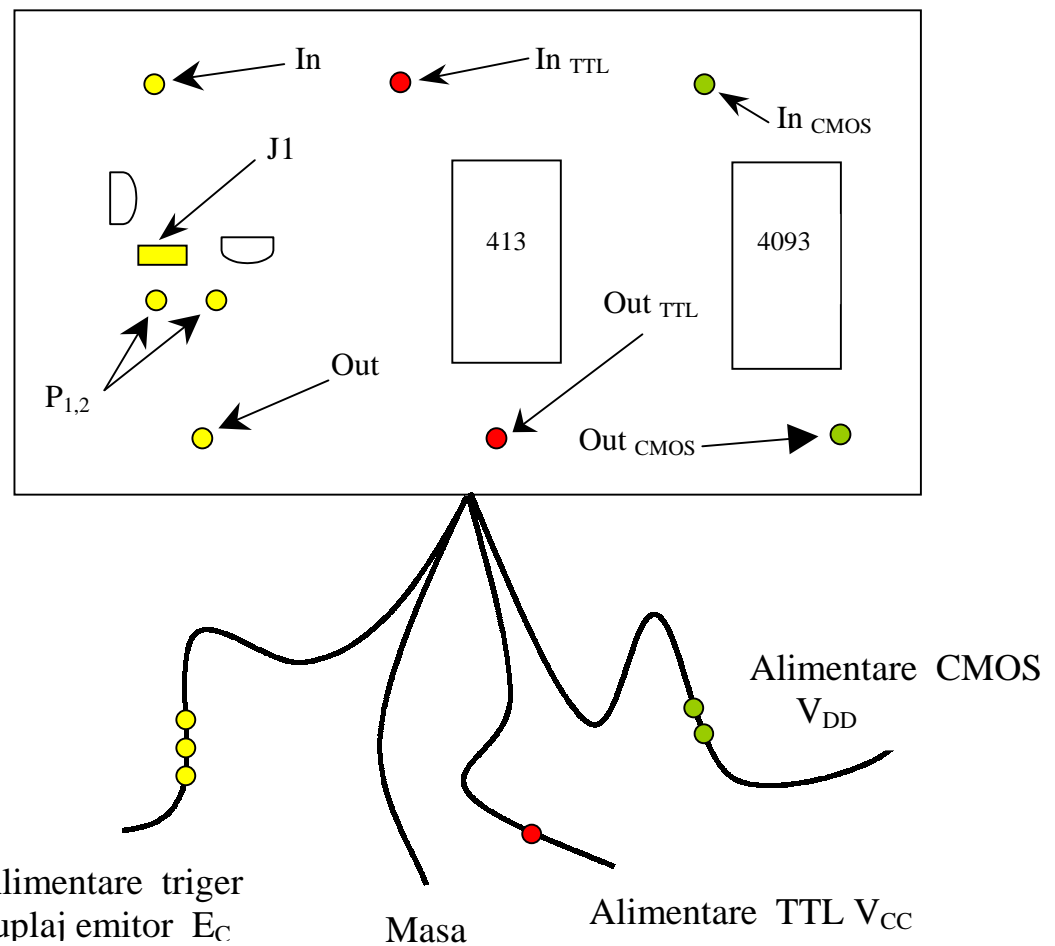


Figura 7. Caracteristicile de intrare și de ieșire

4. DISPOZITIVUL DE LABORATOR

Montajul de laborator conține un trigger Schmitt cu tranzistoare un circuit CDB 413 și un circuit CMOS 4093. Topologia acstă-ia este urmatoarea :



5. DESFASURAREA LUCRARII

5.1. Se verifica montajul și conectarea potențiometrului P la bornele P_1 și P_2 . Se noteaza în caiete schema electrică a circuitului dată în figura 1 și se calculează valorile celor 2 praguri știind că : $R_1=5K6$, $R_2=6K8$, $R_{C1}=8K2$, $R_{C2}=2K$, $R_e=560$.

5.2. Se alimentează circuitul cu $E_C=6V$ între E_C și masa. Punîndu-se J1 astfel încât să avem scurt între P_1 și P_2 . Se trasează caracteristica U_e (se măsoara între Out și masa) funcție de U_I (care se măsoară între In și masă). Se pune în evidență existența histerezisului. Se compara valorile de prag măsurate cu cele calculate. Se introduce potențiometrul (desfăcîndu-se contactul între P_1 și P_2). Se constată influența sa asupra

unuia dintre praguri. Se calculeaza pragul pentru valoarea maxima a lui P_1 și se verifică practic.

5.3. Se aplica la I_{in} semnal sinusoidal cu $f=1\text{kHz}$ si amplitudinea reglabilă. Se vizualizeaza si noteaza $U_e(t)$. Se pune in evidenta modificarea factorului de umplere a raspunsului de la iesire modificand amplitudinea și nivelul continuu al semnalului de intrare. Se vizualizeaza caracteristica de transfer $U_e=f(U_i)$ aplicand U_i si la intrarea X a osciloscopului.

5.4. Se analizeaza functionarea circuitului CDB 413. Se alimenteaza cu 5V intre borna V_{CC} și masa și se aplica la intrarea $I_{in,TTL}$ o tensiune $0 < U_i < 5\text{V}$. Se traseaza caracteristica $U_e=f(U_i)$, notand valorile de prag.

5.5. Se alimentează între borna V_{DD} și masă cu o tensiune de 9V , aplicînd la intrare o tensiune variabilă ($I_{in,CMOS}$) se trasează caracteristica $U_e=f(U_i)$.

5.6. Punîndu-se osciloscopul în mod X-Y să se realizeze conexiunile de o aşa natură astfel încît să se poată vizualiza caracteristica de trasfer a circuitului. Apoi variind tensiunea de alimentare se observă modificarea acestei caracteristici pe ecranul osciloscopului..

INTREBARI:

- 1) Sa se calculeze pragurile pentru circuitul din figura 1 pentru: R_2 lipsa; R_1 si R_2 lipsa.
- 2) Sa se precizeze valoarea minima a iesirii U_e in starea 1, relativ la pragul ε_1 .
- 3) Sa se precizeze starea de conductie (activ, saturat sau blocat) pentru T_4 din CDB 413 in starile 1 si 2; Să se stabileasca rolul sau și daca ar putea fi inlocuit cu o dioda (jonctiunea B-E).
- 4) Sa se stabileasca relatiile de calcul pentru pragurile circuitului CDB 413 și să se verifice valorile calculate.
- 5) Din caracteristica de transfer a unei porți CMOS dată în figura 8 rezultă că valoarea minimă a tensiunii de alimentare este : $V_{DD \min} = V_{TN} + |V_{TP}|$.

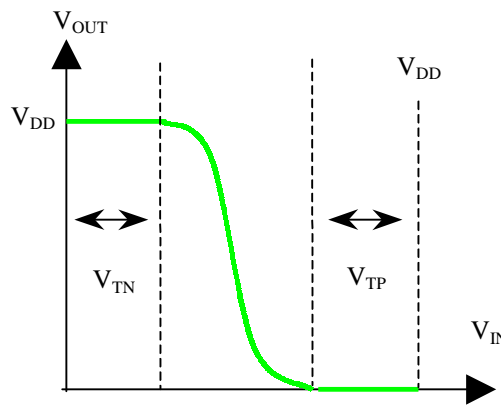


Figura 8. Caracteristica de transfer

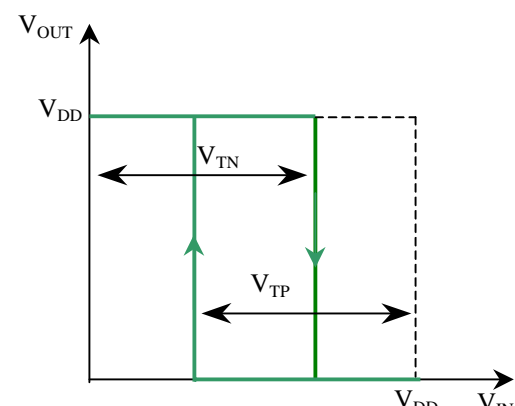


Figura 9. Caracteristica pentru $V_{DD} < V_{DD \min}$

Valoarea tipică a tensiunii de prag pentru procesul CMOS standars este :

$$V_{TN} \cong |V_{TP}| \cong 1.5 \text{ V}$$

Se obtie $V_{DD} = 3\text{V}$; caracteristica de transfer pentru un inversor CMOS cu tensiunea de alimentare $V_{DD} < V_{TN} + |V_{TP}|$ este dată în figura 9.

Ar putea un inversor CMOS să funcționeze ca trigger schmitt dacă îl alimentez cu 2.3V ? Dar dacă îl alimentez cu 1.3 V ? De ce ?